

И. Ю. Савельева

## ЭФФЕКТИВНЫЙ КОЭФФИЦИЕНТ ТЕПЛОПРОВОДНОСТИ КОМПОЗИТА ПРИ НАЛИЧИИ ПРОМЕЖУТОЧНОГО СЛОЯ МЕЖДУ ШАРОВЫМИ ВКЛЮЧЕНИЯМИ И МАТРИЦЕЙ

*Построена математическая модель переноса тепловой энергии в композите с включениями шаровой формы (в общем случае в виде полых шаров). Учтена возможность возникновения промежуточного слоя между включениями и матрицей. Получены оценки эффективного коэффициента теплопроводности такого композита, в том числе с применением двойственной формулировки вариационной задачи стационарной теплопроводности в неоднородном твердом теле. Проведенный параметрический анализ позволил установить области применения найденных оценок, которые могут быть использованы для прогноза эффективного коэффициента теплопроводности композитов, в частности, модифицированных наноструктурными элементами.*

**E-mail: Inga.Savelyeva@gmail.com**

**Ключевые слова:** композит, эффективный коэффициент теплопроводности, промежуточный слой.

Модификация композитов наноструктурными элементами (в том числе фуллеренами), имеющими высокие механические характеристики, позволит повысить макроскопические характеристики композитов в целом как конструкционных материалов. Для конструкций, испытывающих одновременно как механические, так и тепловые воздействия, помимо информации о механических характеристиках композита важно располагать данными и о его теплофизических свойствах (в частности, о коэффициенте теплопроводности). Эффективное значение коэффициента теплопроводности композита, модифицированного наноструктурными элементами, зависит от их объемной концентрации  $C_V$ , от соотношения между коэффициентами теплопроводности матрицы и применяемых при модификации элементов, а также от условий теплового контакта между этими элементами и матрицей. Эти условия могут быть связаны с возможным химическим взаимодействием включения и матрицы, приводящим к образованию между ними промежуточного слоя с коэффициентом теплопроводности, отличным от коэффициентов теплопроводности как включения, так и матрицы. В данной работе ограничимся рассмотрением композита, модифицированного элементами в виде полого шара, который можно считать приемлемым приближением к геометрической форме фуллерена [1, 2].

Математическую модель переноса тепловой энергии в композите построим в предположении, что шаровые включения в общем случае не контактируют между собой, т.е. отделены друг от друга слоем материала матрицы. Композит считаем состоящим из множества составных шаровых частиц с наружным радиусом  $R_2$ , каждая из которых включает полый шар с наружным радиусом  $R_1$ , окруженный промежуточным шаровым слоем толщиной  $R_* - R_1$ , и шарового слоя толщиной  $R_2 - R_*$  из материала матрицы. Примем, что такая составная частица является представительным элементом структуры композита и в тепловом отношении взаимодействует с неограниченным массивом однородного материала, коэффициент теплопроводности  $\lambda$  которого подлежит определению как эффективная характеристика композита. Таким образом, модель композита содержит четыре фазы: включение, промежуточный слой, слой матрицы и неограниченный массив однородного материала. При этом отношение  $R_1^3/R_2^3$  будем считать объемной концентрацией  $C_V$  включений в композите.

Рассмотрим тепловое взаимодействие отдельно взятой составной частицы и окружающего ее однородного материала, полагая коэффициенты теплопроводности  $\lambda_1$ ,  $\lambda_*$  и  $\lambda_2$  материалов соответственно полого шара, промежуточного слоя и матрицы заданными. Тепловой контакт на каждой из сферической поверхности, разделяющей контактирующие фазы, примем идеальным.

Центр полого шара с внутренним радиусом  $R_0$  поместим в начале сферической системы координат. Примем, что на большом расстоянии  $r \gg R_2$  от начала координат задан вектор градиента температурного поля в однородном материале, направленный по оси сферической системы координат, от которой происходит отсчет угловой координаты  $\theta$ , т.е. при  $r \rightarrow \infty$  установившееся распределение температуры в этом материале описывает функция  $T_\infty(r, \theta) = Gr \cos \theta$ , где  $G$  — модуль вектора градиента. Эта функция удовлетворяет уравнению Лапласа, которое в сферических координатах имеет вид

$$\frac{1}{r^2} \frac{\partial}{\partial r} \left( r^2 \frac{\partial T}{\partial r} \right) + \frac{1}{r^2 \sin \theta} \frac{\partial}{\partial \theta} \left( \sin \theta \frac{\partial T}{\partial \theta} \right) + \frac{1}{r^2 \sin^2 \theta} \frac{\partial^2 T}{\partial \varphi^2} = 0. \quad (1)$$

В данном случае благодаря параллельности заданного вектора градиента температурного поля и оси отсчета угловой координаты  $\theta$  распределение температуры симметрично относительно этой оси и не зависит от угловой координаты  $\varphi$ , т.е.  $\partial^2 T / \partial \varphi^2 \equiv 0$ .

По мере приближения к составной шаровой частице температурное поле в однородном материале претерпевает возмущение, описываемое также удовлетворяющим уравнению (1) дополнительным слагаемым [3]  $\Delta T(r, \theta) = (B/r^2) \cos \theta$ , где  $B$  — подлежащий определению

постоянный коэффициент. Таким образом, температурное поле в однородном материале, удовлетворяющее заданному условию при  $r \rightarrow \infty$  и уравнению (1), описывает функция

$$T(r, \theta) = T_\infty(r, \theta) + \Delta T(r, \theta) = (Gr + B/r^2) \cos \theta. \quad (2)$$

Аналогичные зависимости описывают распределения температуры в шаровом включении

$$T_1(r, \theta) = (A_1 r + B_1/r^2) \cos \theta, \quad (3)$$

в промежуточном слое

$$T_*(r, \theta) = (A_* r + B_*/r^2) \cos \theta \quad (4)$$

и в слое материала матрицы

$$T_2(r, \theta) = (A_2 r + B_2/r^2) \cos \theta. \quad (5)$$

В равенства (2)–(5) входят 7 неизвестных коэффициентов  $B$ ,  $A_1$ ,  $B_1$ ,  $A_*$ ,  $B_*$ ,  $A_2$  и  $B_2$ , которые необходимо найти из граничных условий на сферических поверхностях с радиусами  $R_0$ ,  $R_1$ ,  $R_*$  и  $R_2$ . При  $r = R_0$  из условия отсутствия теплообмена в полости шарового включения с учетом равенства (3) получим

$$\partial T_1 / \partial r \Big|_{r=R_0} = (A_1 - 2B_1/R_0^3) \cos \theta = 0,$$

или

$$A_1 = 2B_1/R_0^3. \quad (6)$$

При  $r = R_1$  из условий непрерывности плотности теплового потока и распределения температуры следует

$$\lambda_1 \partial T_1 / \partial r \Big|_{r=R_1} = \lambda_* \partial T_* / \partial r \Big|_{r=R_1} \text{ и } T_1(R_1, \theta) = T_*(R_1, \theta).$$

Отсюда с использованием равенств (3) и (4) находим

$$A_1 - 2B_1/R_1^3 = (\lambda_*/\lambda_1)(A_* - 2B_*/R_1^3) \text{ и } A_1 + B_1/R_1^3 = A_* + B_*/R_1^3. \quad (7)$$

Из аналогичных условий при  $r = R_*$  с учетом формул (4) и (5) следует

$$A_* - 2B_*/R_*^3 = (\lambda_2/\lambda_*)(A_2 - 2B_2/R_*^3) \text{ и } A_* + B_*/R_*^3 = A_2 + B_2/R_*^3. \quad (8)$$

Наконец, из подобных условий при  $r = R_2$  и соотношений (2) и (6) получим

$$A_2 - 2B_2/R_2^3 = (\lambda/\lambda_2)(G - 2B/R_2^3) \text{ и } A_2 + B_2/R_2^3 = G + B/R_2^3. \quad (9)$$

Последовательным исключением неизвестных из равенств (6)...(9) находим

$$\frac{B}{R_2^3} = G \frac{\tilde{\lambda}(1 + \bar{R}_*^3 d) - 1 + 2\bar{R}_*^3 d}{2\tilde{\lambda}(1 + \bar{R}_*^3 d) + 1 - 2\bar{R}_*^3 d}, \quad (10)$$

где  $\tilde{\lambda} = \lambda/\lambda_2$ ,  $\bar{R}_* = R_*/R_2$ ,

$$d = 3 \frac{1 + b C_V / \bar{R}_*^3}{2 + \bar{\lambda}_* + 2b(1 - \bar{\lambda}_*) C_V / \bar{R}_*^3} - 1, \quad b = \frac{1 - \bar{\lambda}/\bar{\lambda}_* + (1 + 2\bar{\lambda}/\bar{\lambda}_*) \bar{R}_0^3/2}{2 + \bar{\lambda}/\bar{\lambda}_* + (1 - \bar{\lambda}/\bar{\lambda}_*) \bar{R}_0^3},$$

$C_V = R_1^3/R_2^3$ ,  $\bar{\lambda}_* = \lambda_*/\lambda_2$ ,  $\bar{\lambda} = \lambda_1/\lambda_2$  и  $\bar{R}_0 = R_0/R_1$ . В случае включения в виде сплошного шара  $\bar{R}_0 = 0$  и  $b = b_0 = (1 - \bar{\lambda}/\bar{\lambda}_*)/(2 + \bar{\lambda}/\bar{\lambda}_*)$ .

Замена составной шаровой частицы равновеликим шаром радиусом  $R_2$  с искомым коэффициентом теплопроводности  $\lambda$  приведет к исчезновению возмущения температурного поля в окружающем ее однородном материале с тем же значением  $\lambda$ . Тогда в равенстве (2) следует положить  $\Delta T(r, \theta) = 0$ , что равносильно условию  $B = 0$ , которое с учетом формулы (10) позволяет записать

$$\tilde{\lambda} = (1 - 2\bar{R}_*^3 d)/(1 + \bar{R}_*^3 d). \quad (11)$$

Эта формула сохраняет смысл при условии  $C_V \leq C_V^* = (R_1/R_*)^3$ , поскольку при  $C_V = C_V^*$  в составной частице уже отсутствует шаровой слой матрицы. В частном случае отсутствия промежуточного слоя  $\bar{R}_*^3 = C_V$  и равенство (11) при  $\bar{\lambda}_* = \bar{\lambda}$  и  $\bar{R}_0 = 0$  переходит в известную формулу Максвелла [3]

$$\tilde{\lambda} = \frac{2 + \bar{\lambda} - 2(1 - \bar{\lambda})C_V}{2 + \bar{\lambda} + (1 - \bar{\lambda})C_V},$$

полученную на основе более простой двухфазной модели, состоящей из включения в виде сплошного шара и окружающего его материала матрицы.

Для оценки возможной погрешности формулы (11) используем двойственную вариационную формулировку задачи стационарной теплопроводности [4, 5], позволяющую получить двусторонние оценки эффективного коэффициента теплопроводности рассматриваемого композита. Область  $V$ , содержащую представительный элемент в виде половины составной частицы радиусом  $R_2$ , выберем в виде прямого цилиндра с достаточно большой площадью  $S_0$  параллельных оснований, одно из которых соответствует в сферических координатах значению  $\theta = \pi/2$ , а точки второго имеют координаты  $r \cos \theta = H$ , т.е. высота цилиндра равна  $H$ , причем  $H \gg R_2$ . Боковую поверхность цилиндра примем идеально теплоизолированной, температуру основания при  $\theta = \pi/2$  положим равной нулю, а на втором основании зададим температуру  $GH$ . Однородный материал в части области вне составной частицы имеет коэффициент теплопроводности  $\lambda$ . Таким образом, в неоднородной цилиндрической области объемом  $V_0 = HS_0$ , ограниченной поверхностью  $S$ , распределение температуры  $T(M)$  и коэффициент теплопроводности  $\lambda(M)$  являются функциями координат

точки  $M \in V$ , причем функция  $\lambda(M)$  кусочно постоянная и принимает значения  $\lambda_1$  при  $r \leq R_1$ ,  $\lambda_*$  при  $R_1 \leq r \leq R_*$ ,  $\lambda_2$  при  $R_* \leq r \leq R_2$  и  $\lambda$  при  $r \geq R_2$ .

Примем в качестве допустимого для минимизируемого функционала [5]

$$J[T] = \frac{1}{2} \int_V \lambda(M) (\nabla T(M))^2 dV(M), \quad (12)$$

где  $\nabla$  — дифференциальный оператор Гамильтона, линейное по высоте цилиндра распределение температуры с постоянной составляющей градиента  $G$ . В этом случае из формулы (12) получим

$$J_1[T] = \frac{G^2}{2} \left( \lambda H S_0 - \frac{2\pi R_2^3}{3} \lambda + 2\pi \frac{R_2^3 - R_*^3}{3} \lambda_2 + \right. \\ \left. + 2\pi \frac{R_*^3 - R_1^3}{3} \lambda_* + 2\pi \frac{R_1^3 - R_0^3}{3} \lambda_1 \right). \quad (13)$$

Для максимизируемого функционала [5]

$$I[\mathbf{q}] = -\frac{1}{2} \int_V \frac{(\mathbf{q}(M))^2}{\lambda(M)} dV(M) - \\ - \int_S T(P) \mathbf{q}(P) \cdot \mathbf{n}(P) dS(P), \quad P \in S, \quad (14)$$

где  $\mathbf{n}$  — единичный вектор внешней нормали к поверхности  $S$ , в качестве допустимого распределения вектора плотности теплового потока  $\mathbf{q}$  примем постоянное значение  $q = -\lambda G$  единственной составляющей этого вектора, перпендикулярной основаниям цилиндра. Тогда формула (14) примет вид

$$I_1[q] = -\frac{(\lambda G)^2}{2} \left( \frac{H S_0 - 2\pi R_2^3/3}{\lambda} + 2\pi \frac{R_2^3 - R_*^3}{3\lambda_2} + \right. \\ \left. + 2\pi \frac{R_*^3 - R_1^3}{3\lambda_*} + 2\pi \frac{R_1^3 - R_0^3}{3\lambda_1} \right) + \lambda G^2 H S_0. \quad (15)$$

Принятые допустимые распределения температуры и плотности теплового потока для неоднородной области отличаются от действительных и поэтому значения  $J_1[T]$  и  $I_1[q]$  не будут совпадать, причем  $J_1[T] > I_1[q]$ . В промежутке между этими значениями должно быть расположено и значение  $J_0 = (\lambda/2)G^2 H S_0$  минимизируемого функционала (12) для однородной области с коэффициентом теплопроводности  $\lambda$ . Тогда при  $(R_1/R_2)^3 = C_V$  с учетом формулы (13) из условия

$J_1[T] \geq J_0$  получим

$$\tilde{\lambda} \leq 1 - \bar{R}_*^3 + \bar{\lambda}_*(\bar{R}_*^3 - C_V) + \bar{\lambda}C_V(1 - \bar{R}_0^3) = \tilde{\lambda}_+,$$

а при использовании формулы (15) из условия  $I_1[q] \leq J_0$  найдем

$$\tilde{\lambda} \geq \frac{1}{1 - \bar{R}_*^3 + (\bar{R}_*^3 - C_V)/\bar{\lambda}_* + C_V(1 - \bar{R}_0^3)/\bar{\lambda}} = \tilde{\lambda}_-.$$

Для примера расчета примем  $\bar{R}_*^3 = 2R_1^3$  и  $\lambda_* = (\lambda_1 + \lambda_2)/2$ , т. е.  $\bar{R}_*^3 = 2C_V$  и  $\bar{\lambda}_* = (1 + \bar{\lambda})/2$ . В этом случае  $C_V \in [0, C_V^*]$ , где  $C_V^* = 0,5$ . На рис. 1 для случая  $R_0 = 0$  при различных значениях  $\bar{\lambda}$  приведены графики зависимостей от  $C_V$  верхней  $\tilde{\lambda}_+$  (штрихпунктирные линии) и нижней  $\tilde{\lambda}_-$  (штриховые линии) оценок отношения  $\tilde{\lambda} = \lambda/\lambda_2$ . Сплошными линиями представлены графики зависимостей  $\tilde{\lambda}$ , построенные по формуле (11). Результаты аналогичных расчетов при  $\bar{R}_*^3 = 1, 25C_V$  и  $\bar{\lambda}_* = (1 + \bar{\lambda})/2$  в промежутке  $C_V \in [0, C_V^*]$ , где теперь  $C_V^* = 0,8$ , приведены на рис. 2. Отметим, что во всех случаях  $\tilde{\lambda} = \tilde{\lambda}_+ = \tilde{\lambda}_- = 1$  при  $\bar{\lambda} = 1$ .

Из сопоставления графиков на рисунках следует, что при малом отклонении значения  $\bar{\lambda}$  от единицы формула (11) достаточно хорошо описывает зависимость эффективного коэффициента теплопроводности от объемной концентрации шаровых включений во всем промежутке изменения  $C_V$ . По мере отклонения  $\bar{\lambda}$  от единицы несмотря на сближение оценок при  $C_V = C_V^*$  разность  $\tilde{\lambda}_+ - \tilde{\lambda}_-$  для промежуточных значений  $C_V$  становится значительной. Причиной этого является, видимо, использование достаточно простых допустимых распределений

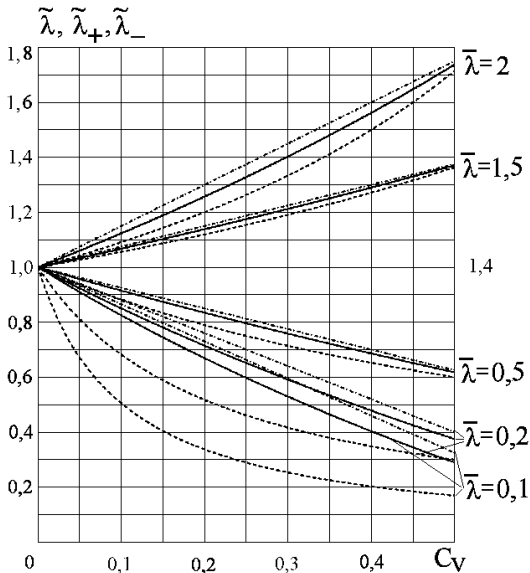


Рис. 1

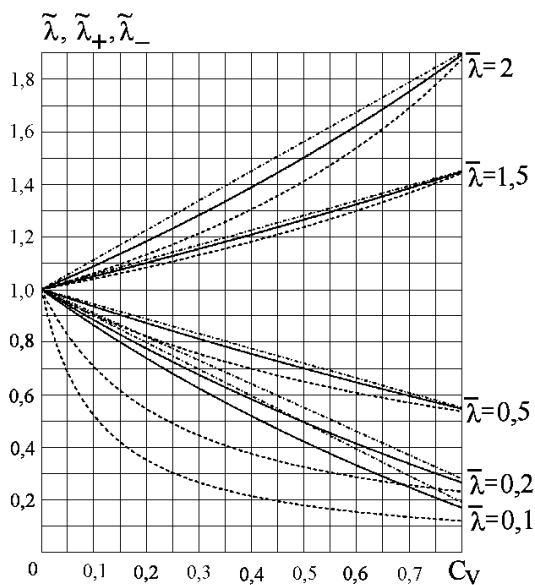


Рис. 2

температуры и плотности теплового потока при вычислении функционалов. Можно ожидать, что построение более близких к действительным распределений позволит уменьшить разность  $\tilde{\lambda}_+ - \tilde{\lambda}_-$  и тем самым точнее оценить возможную погрешность формулы (11).

*Работа выполнена по гранту НШ–255.2012.8 программы государственной поддержки ведущих научных школ.*

## СПИСОК ЛИТЕРАТУРЫ

1. К а ц Е. А. Фуллерены, углеродные нанотрубки и нанокластеры. Родословная форм и идей. – М.: Изд-во ЛКИ, 2008. 296 с.
2. П о з д н я к о в В. А. Физическое материаловедение наноструктурных материалов. – М.: МГИУ, 2007. – 424 с.
3. К а р с л о у Г., Е г е р Д. Теплопроводность твердых тел: Пер. с англ. – М.: Наука, 1964. – 488 с.
4. З а р у б и н В. С. Инженерные методы решения задач теплопроводности. – М.: Энергоатомиздат, 1983. – 328 с.
5. З а р у б и н В. С., К у в ы р к и н Г. Н. Математические модели механики и электродинамики сплошной среды. – М.: Изд-во МГТУ им. Н.Э. Баумана, 2008. – 512 с.

Статья поступила в редакцию 05.09.2012